

PESQUISA EM ANDAMENTO

Nº 10, dez./91. p.1

CARACTERIZAÇÃO E AVALIAÇÃO DO GERMOPLASMA CLONAL DE GUARANÁ

(*Paullinia cupana* var. *Sorbilis*)¹

Terezinha Batista Garcia²

Firmino José do Nascimento Filho³

Renato Cardoso Costa Junior⁴

Um banco ativo de germoplasma constitui uma das formas mais práticas de preservar, identificar, caracterizar e avaliar um grande número de genótipos. Esse tipo de trabalho é imprescindível ao melhoramento genético por fornecer informações seguras do potencial dos materiais existentes.

O conjunto de descritores, que caracteriza e identifica os genótipos, dará condições necessárias para manter o intercâmbio de materiais e informações entre os pesquisadores, auxiliando na escolha dos genótipos adequados às suas pesquisas.

A caracterização do germoplasma de guaraná, no CPAA, está sendo feita através de descritores morfológicos, facilmente mensuráveis. Devido à impossibilidade de se descrever todos os genótipos do acervo, estes serão divulgados por etapa. A primeira etapa envolve os genótipos da coleção de trabalho localizada na Fazenda Santa Helena, de propriedade da Sociedade Agrícola de Maués. Essa coleção é constituída de 64 genótipos dispostos, no campo, em delineamento de blocos casualizados, 3 repetições e 3 plantas por parcelas, implantada em janeiro de 1987.

¹ Trabalho financiado com recursos do convênio EMBRAPA/SAMASA

² Engº Agrº MSc. em Fitotecnia EMBRAPA. Centro de Pesquisa Agroflorestal da Amazônia Ocidental (CPAA), Cx Postal, 455 - 69.001, Manaus, AM.

³ Engº Agrº MSc. em Genética e Melhoramento de Planta EMBRAPA, Manaus, AM.

⁴ Engº Agrº BS. SAMASA, Manaus, AM.



Na fase vegetativa, utilizou-se os seguintes descritores: comprimento do ramo principal; número de folhas avaliadas ao plantio e aos 6 e 12 meses; e número de ramos, avaliados, também, aos 6 e 12 meses. Determinou-se, ainda: área foliar, comprimento do pecíolo, largura e comprimento do folíolo - 3 e índice alométrico.

O comprimento do ramo e do pecíolo; a largura e o comprimento do folíolo - 3 foram medidos diretamente, através de uma régua graduada em centímetros. O comprimento do ramo foi medido a partir do colo da planta até o ápice. A largura do folíolo - 3 foi medida na parte mediana e o comprimento medido sobre a nervura principal, desde a base até o ápice. O índice alométrico foi calculado através da relação entre a largura e o comprimento do folíolo - 3.

A área foliar foi medida através do determinador de área (marca "LICOR INC Modelo 3100), equipado de um sistema automático de integração com resposta em cm^2 e transformada para dm^2 .

Na fase produtiva a caracterização foi feita através da produção por planta (fruto + raquis), fazendo-se em seguida a pesagem da biomassa fresca. Posteriormente, fez-se a transformação para a obtenção do peso de sementes secas, utilizando a relação 6:1.

A produtividade foi calculada através da fórmula:

$\text{Kg/ha} = \text{kg/planta} \times 100\% \text{ sobrevivência} \times \% \text{ plantas produtivas} \times \text{número de plantas por hectare}$ (416). O dado kg/planta é a média somente das plantas produtivas, correspondendo à produção potencial. Além da produtividade e produção potencial, estimou-se a produção real (produção total/plantas vivas).

Paralelamente, avaliou-se também a incidência da doença antracnose (*Colletotrichum guaranicola*), através de um critério de notas subjetivas, e a porcentagem de sobrevivência ao plantio, aos 6 e 12 meses.

Na Tabela 1, são apresentados os códigos de identificação dos 64 genótipos avaliados.

A amplitude apresentada na Tabela 2 mostra a variação entre clones na fase inicial do desenvolvimento vegetativo. Os clones CMA 222, 836, 846 e 850; CPR 815 e 849 e CMU 378, 691, 692, 714, 717, 723, 852, 874, 880 e 898, apresentaram valores acima da média, aos 12 meses, para os descritores: comprimento do ramo principal, número de folhas e ramo.

PA nº 10, dez./91. p.3

Na Tabela 3 os valores das amplitudes dos descritores área foliar, comprimento do pecíolo, largura e comprimento do folíolo - 3 e o índice alométrico, denotam a ampla variação entre os clones.

As informações à respeito da forma das folhas são incipientes, porém verifica-se variação em formato e tamanho. Existe a possibilidade do uso destes caracteres, baseado no formato do folíolo - 3. Portanto, de acordo com índice alométrico (I.A), os clones foram classificados em 3 grupos: grupo 1 - oblongo (52%) I.A. menor ou igual a 0,46; grupo 2 - elíptico (21%) I.A. maior que 0,46 e menor que 0,50; grupo 3 - oval (27%) I.A. maior ou igual a 0,50 (Figura 2 e Tabela 4).

Quanto à produção total, potencial real, produtividade e número de colheitas (Tabela 5), os clones CMU 300, 378, 691, 698, 714, 723, 861, 871 e 877; CMA 846 e 850 e CPR 815 e 903 apresentaram valores superiores à média. O grifo indica os clones que se destacaram na fase vegetativa, os quais representam 54% dos clones mais produtivos da safra 89/90.

A avaliação da antracnose constitui um dos principais descritores. Na Tabela 6, observa-se a evolução da incidência de antracnose até aos 29 meses de idade, onde a maioria dos clones mantiveram níveis de resistência entre 0 (zero) e 1.

A sobrevivência é um descritor que revela o nível da adaptação dos genótipos às condições de campo. Na população em estudo, 5%, 19% e 38% dos materiais tiveram sobrevivência abaixo de 90% ao plantio e aos 6 e 12 meses, respectivamente. Os clones CMU 300, 378, 607, 618, 687, 707, 706, 708, 710, 711, 713, 719, 722, 724, 798, 860, 880, 871, 881, 876, 886, 892 e 897, apresentaram sobrevivência até 12 meses abaixo de 90% (Tabela 7). O uso de clones acima de 90% de sobrevivência poderá manter estável o número de plantas previsto por hectare (416 plantas) após o plantio.

**TABELA 1. Identificação do germoplasma clonal da coleção de trabalho.
Fazenda Santa Helena/SAMASA/Maués. EMBRAPA/CPAA. Manaus, AM.
1991.**

Local	População	Número da Ortete	Clone Resultante
*E. Exp. Manaus	ME 78-6	131	CMA-222-v
E. Exp. Manaus	SP 78-1	11	CMU-300-v
SAMASA	SA-09	84	CMU-378-v
SAMASA	SA-09	37	CMU-505-v
SAMASA	SA-02	128	CMU-607-v
SAMASA	SA-02	125	CMU-612-v
SAMASA	SA-04	144	CMU-618-v
SAMASA	SA-05	155	CMU-622-v
SAMASA	SA-05	156	CMU-623-v
E. Exp. Maués	SP-68-2	57	CMU-687-v
E. Exp. Maués	SP-77-1	65	CMU-690-v
E. Exp. Maués	SP-77-1	77	CMU-691-v
E. Exp. Maués	SP-77-1	83	CMU-692-v
E. Exp. Maués	SP-77-1	14	CMU-693-v
E. Exp. Maués	SP-77-1	25	CMU-696-v
E. Exp. Maués	SP-77-1	34	CMU-697-v
E. Exp. Maués	SP-77-1	35	CMU-698-v
E. Exp. Maués	SP-77-2	75	CMU-703-v
E. Exp. Maués	SP-77-2	76	CMU-704-v
E. Exp. Maués	SP-77-2	98	CMU-705-v
E. Exp. Maués	SP-77-2	13	CMU-706-v
E. Exp. Maués	SP-77-2	137	CMU-707-v
E. Exp. Maués	SP-77-2	17	CMU-708-v
E. Exp. Maués	SP-77-2	28	CMU-710-v
E. Exp. Maués	SP-77-2	32	CMU-711-v
E. Exp. Maués	SP-77-2	36	CMU-713-v
E. Exp. Maués	SP-77-2	63	CMU-714-v
E. Exp. Maués	SP-77-3	16	CMU-717-v
E. Exp. Maués	SP-77-3	45	CMU-718-v
E. Exp. Maués	SP-77-3	85	CMU-719-v
E. Exp. Maués	SP-77-3	27	CMU-722-v
E. Exp. Maués	SP-77-3	46	CMU-723-v
E. Exp. Maués	SP-77-3	52	CMU-724-v
E. Exp. Maués	SP-77-3	54	CMU-725-v
E. Exp. Maués	SP-77-3	57	CMU-726-v
SAMASA	SA-15	19	CMU-798-v
Apo. Pro. A. Freitas	APO-A	2	CMU-801-v
Apo. Pro. J.(B. Jesus)	APO-J	1	CMU-806-v
CPR. Pro. J. D'ávila	PRO-J0	F	CPR-815-v
E. Exp. Manaus	ME-78-6	53	CMA-836-v
E. Exp. Manaus	SP-79-2	5	CMA-846-v
CPR. Pro. J. D'ávila	PRO-J0	100	CPR-849-v
E. Exp. Manaus	SP-79-2	44	CMA-850-v
E. Exp. Maués	ME-82-1	138	CMU-852-v
SAMASA	SA-01	107	CMU-860-v
SAMASA	SA-01	109	CMU-861-v
SAMASA	SA-01	111	CMU-862-v
SAMASA	SA-02	128	CMU-867-v
SAMASA	SA-03	50	CMU-868-v
SAMASA	SA-03	133	CMU-871-v
SAMASA	SA-04	145	CMU-874-v
SAMASA	SA-04	151	CMU-876-v
SAMASA	SA-05	158	CMU-877-v
SAMASA	SA-06	165	CMU-879-v
SAMASA	SA-07	178	CMU-880-v
SAMASA	SA-07	179	CMU-881-v
SAMASA	SA-10	41	CMU-882-v
SAMASA	SA-10	78	CMU-886-v
SAMASA	SA-10	88	CMU-888-v
SAMASA	SA-11	24	CMU-892-v
SAMASA	SA-11	67	CMU-897-v
SAMASA	SA-11	72	CMU-898-v
E. Exp. Maués	ME-82-1	116	CMU-900-v
CPR. Pro. J.D'ávila	PRO-J0	1	CPR-903-v

⁶ Exemplo ME-87-6
 ME = Exp. de Melhoramento
 87 = Ano de Plantio

6 - Nº de Experimento
 *Exemplo: CMA-222-v
 CMU = Clone de Maués
 CMA = Clone de Manaus

CPR = Clone de Cacau Pirera
 222 = Nº de Clone
 v = Cegetativa

TABELA 2 - Valores médios dos descritores morfológicos da fase vegetativa dos clones de guaraná, Fazenda Santa Helena/SAMASA/Maués, ENERPA/CPAA, Manaus/AM, 1991.

Clones	Comprimento do Ramo (cm)			Número de Folhas		Número de Ramos	
	Planteio	6 meses	12 meses	Planteio	6 meses	12 meses	6 meses
CNU-222-V	14.78	75.06	143.4	5.94	8.11	41.33	2.72
CNU-300-V	4.11	21.56	39.27	2.33	5.67	14.47	1.60
CNU-376-V	5.44	50.36	76.45	3.22	7.64	38.87	1.56
CNU-505-V	4.00	45.74	65.51	2.29	6.24	10.65	1.63
CNU-607-V	8.06	27.89	57.92	2.37	3.00	19.00	1.63
CNU-612-V	5.94	17.37	21.38	3.70	6.17	12.67	1.83
CNU-618-V	5.88	40.54	64.10	2.65	4.53	10.19	1.41
CNU-622-V	16.28	60.09	74.49	5.11	8.78	17.00	2.39
CNU-623-V	11.39	55.45	67.35	4.33	9.88	20.47	2.53
CNU-687-V	3.00	12.14	14.60	1.69	1.60	3.80	1.00
CNU-690-V	4.61	22.11	90.27	3.83	4.71	28.18	1.35
CNU-691-V	16.82	52.44	105.1	3.88	9.84	44.61	1.65
CNU-692-V	24.11	57.78	115.3	6.33	6.35	38.65	2.06
CNU-693-V	8.39	37.04	60.09	3.67	6.56	22.11	1.61
CNU-696-V	6.39	17.12	39.73	3.22	3.29	9.12	1.35
CNU-697-V	10.44	25.14	48.83	4.61	6.17	19.22	1.61
CNU-698-V	4.83	21.96	35.68	4.06	6.94	23.11	1.61
CNU-703-V	8.83	42.84	77.47	4.17	7.06	26.06	1.83
CNU-704-V	4.78	14.18	99.65	2.78	5.18	22.76	1.59
CNU-705-V	5.94	15.45	19.14	2.50	2.82	3.00	1.12
CNU-706-V	5.89	21.85	63.38	2.11	3.94	17.46	1.24
CNU-707-V	8.39	29.81	42.86	5.17	6.72	16.24	2.11
CNU-708-V	3.94	17.89	44.22	2.50	4.06	14.40	1.41
CNU-710-V	6.89	22.91	62.05	2.94	4.83	20.20	1.33
CNU-711-V	4.39	17.84	63.78	2.50	4.24	16.33	1.41
CNU-713-V	5.00	13.47	42.17	2.18	2.80	8.00	1.25
CNU-714-V	8.22	37.65	64.08	3.83	6.33	31.22	2.33
CNU-717-V	6.39	37.09	103.3	4.11	5.94	31.61	1.67
CNU-718-V	5.22	25.73	58.76	3.11	4.83	19.78	1.17
CNU-719-V	8.28	37.93	77.62	2.39	4.25	11.44	1.37
CNU-722-V	4.89	13.05	23.93	3.89	4.00	13.67	1.41
CNU-723-V	7.61	41.45	102.8	3.39	6.67	39.33	1.44
CNU-724-V	4.76	19.87	36.16	2.18	3.67	8.25	1.17
CNU-725-V	7.11	34.78	79.84	3.66	6.61	24.44	1.67
CNU-726-V	4.89	21.11	41.95	2.78	5.33	11.35	1.61
CNU-729-V	5.24	33.53	51.81	2.88	4.46	18.00	1.19
CNU-801-V	7.94	39.36	63.68	3.61	4.89	20.61	1.44
CNU-806-V	16.44	39.61	62.04	4.06	10.17	20.67	2.61
CPR-815-V	7.50	36.73	72.29	6.67	7.67	35.44	2.33
CNU-836-V	14.56	56.91	70.76	5.96	10.78	43.44	2.44
CNU-846-V	26.11	53.73	60.37	5.67	14.17	45.44	2.78
CPR-849-V	10.50	38.95	75.51	4.67	8.94	25.56	2.60
CNU-850-V	18.06	51.69	63.21	6.11	9.72	29.22	2.33
CNU-852-V	16.00	54.80	93.30	5.61	9.60	30.06	2.72
CNU-860-V	4.78	24.48	55.36	3.17	6.94	17.76	1.37
CNU-861-V	7.94	35.61	69.64	3.44	6.44	24.94	1.28
CNU-862-V	11.50	43.09	82.17	3.89	6.78	21.22	2.78
CNU-867-V	8.17	21.62	58.61	3.72	4.78	15.75	1.94
CNU-868-V	3.61	16.32	45.37	3.28	5.72	16.50	1.22
CNU-871-V	4.89	34.18	119.3	3.82	6.44	28.62	1.11
CNU-874-V	8.33	49.54	63.42	3.72	7.39	28.11	1.76
CNU-876-V	5.44	17.51	35.97	2.89	2.81	5.91	1.12
CNU-877-V	5.00	61.76	101.2	2.28	6.17	22.44	2.17
CNU-879-V	6.44	23.63	48.17	2.94	5.11	13.67	1.22
CNU-880-V	12.00	49.17	79.56	4.78	6.81	20.62	1.37
CNU-881-V	8.83	26.14	33.30	3.50	4.78	8.75	1.28
CNU-882-V	6.39	37.93	68.86	2.61	4.94	10.47	1.22
CNU-886-V	4.83	24.86	42.65	3.11	5.61	14.38	1.33
CNU-888-V	4.28	27.74	57.81	2.67	6.06	19.00	1.12
CNU-892-V	4.39	30.95	47.04	2.33	5.13	13.47	1.27
CNU-897-V	7.75	63.23	70.69	3.37	6.44	18.76	1.25
CNU-898-V	7.83	29.26	62.81	3.94	6.71	24.29	1.35
CNU-900-V	6.33	36.33	62.02	2.39	5.94	19.83	1.22
CPR-903-V	6.11	32.11	49.75	4.56	7.94	27.94	1.22
Min.	3.00	12.14	14.60	1.69	1.80	3.00	1.00
Max.	25.11	75.06	143.40	5.94	14.17	45.44	2.78
Amplitude	22.11	63.74	128.80	4.24	12.37	42.44	1.78
Média	8.17	34.60	65.76	3.59	6.22	21.94	1.68

TABELA 3 - Valores médios dos descriptores morfológicos foliares dos clones de guaraná. Fazenda Santa Helena/SANASA/Maués. EMBRAPA/CPAA. Mês: nov/AM. 1991.

Clones	N	Área Folia	Comprimento do Pectolo	Largura do Pectolo 3	Comprimento Pectolo 3	Índice Alométrico
CNA-222-V	27	7.14	12.04	10.30	20.21	0.51
CRU-300-V	27	8.36	13.43	10.96	21.17	0.53
CRU-370-V	27	6.61	11.66	7.77	16.19	0.48
CRU-605-V	27	7.74	12.64	10.56	21.60	0.49
CRU-607-V	27	6.00	12.51	9.02	19.22	0.47
CRU-612-V	27	6.22	16.43	8.70	20.25	0.43
CRU-616-V	27	8.02	10.74	8.11	17.20	0.46
CRU-622-V	27	6.00	14.03	8.57	19.87	0.44
CRU-623-V	27	7.38	11.82	10.09	22.09	0.46
CRU-687-V	0	-	-	-	-	-
CRU-690-V	27	7.41	11.83	10.00	21.64	0.46
CRU-691-V	27	9.21	17.69	11.82	26.76	0.45
CRU-692-V	27	7.20	12.01	9.54	21.99	0.44
CRU-693-V	27	7.07	15.17	9.36	22.51	0.42
CRU-696-V	27	9.65	12.12	12.28	22.90	0.54
CRU-697-V	27	4.86	10.99	8.20	17.83	0.46
CRU-698-V	27	6.24	13.82	9.28	18.85	0.50
CRU-703-V	27	5.05	12.64	8.93	17.36	0.52
CRU-704-V	3	4.98	17.30	7.27	19.00	0.38
CRU-705-V	6	8.31	14.23	8.40	17.70	0.48
CRU-706-V	27	14.33	13.13	10.46	27.04	0.61
CRU-707-V	27	6.42	12.02	7.63	19.00	0.39
CRU-708-V	21	4.81	11.43	7.60	16.84	0.46
CRU-710-V	27	6.00	12.30	8.66	21.31	0.41
CRU-711-V	27	6.83	15.17	9.90	22.13	0.45
CRU-713-V	16	7.60	17.73	10.25	19.57	0.53
CRU-714-V	27	6.59	12.95	9.81	20.50	0.49
CRU-717-V	27	8.61	14.57	11.81	22.60	0.50
CRU-718-V	27	7.62	12.68	9.59	22.27	0.43
CRU-719-V	27	6.89	15.76	8.35	22.75	0.37
CRU-722-V	18	9.55	14.22	11.14	24.26	0.45
CRU-723-V	27	6.26	11.17	9.20	20.01	0.47
CRU-724-V	6	8.14	18.60	10.32	22.42	0.46
CRU-725-V	27	5.84	11.28	8.40	18.80	0.45
CRU-726-V	21	7.36	17.28	9.84	20.60	0.48
CRU-798-V	27	7.85	14.19	10.85	21.54	0.51
CRU-801-V	27	7.61	16.97	10.56	21.40	0.50
CRU-806-V	27	7.95	14.71	10.56	20.66	0.51
CPR-815-V	24	8.24	15.97	10.90	21.23	0.51
CNA-836-V	27	6.35	11.70	8.61	20.68	0.42
CNA-846-V	27	6.00	12.70	8.31	19.69	0.43
CPR-849-V	27	6.33	17.11	9.29	20.27	0.46
CNA-850-V	27	6.97	14.06	9.79	21.11	0.47
CRU-852-V	27	6.39	11.73	9.17	20.24	0.45
CRU-860-V	27	7.45	11.87	10.21	21.72	0.47
CRU-861-V	27	6.01	12.94	8.26	20.41	0.41
CRU-862-V	27	6.90	13.17	9.12	21.05	0.42
CRU-867-V	27	7.96	10.45	10.53	21.84	0.48
CRU-868-V	27	6.06	10.26	9.84	17.85	0.55
CRU-871-V	27	6.66	11.61	9.41	19.39	0.49
CRU-874-V	27	8.94	11.28	9.06	18.19	0.50
CRU-876-V	18	4.95	15.71	8.04	17.78	0.45
CRU-877-V	27	6.94	14.06	9.92	19.70	0.51
CRU-879-V	27	4.66	14.16	7.84	17.49	0.45
CRU-880-V	27	7.47	16.81	9.88	21.83	0.45
CRU-881-V	18	6.47	13.97	8.69	21.30	C.
CRU-882-V	27	6.65	16.30	9.41	22.07	0.43
CRU-886-V	27	7.09	14.70	9.05	19.23	0.47
CRU-888-V	27	6.54	11.67	9.67	20.15	0.48
CRU-892-V	24	7.60	15.27	9.74	22.71	0.43
CRU-897-V	27	7.30	15.79	9.75	21.37	0.46
CRU-898-V	27	6.61	12.63	9.50	19.05	0.50
CRU-900-V	27	7.10	12.95	9.99	19.81	0.51
CPR-903-V	27	6.17	15.09	8.81	20.62	0.43
Min.		4.61	10.26	7.26	16.19	0.37
Máx.		14.33	18.60	16.46	27.04	0.61
Amplitude		9.72	8.34	9.20	10.85	0.24
Média		6.90	13.50	9.59	20.59	0.47

TABELA 4 - Agrupamento de clones de guaraná quanto ao índice alométrico do folíolo - 3. EMBRAPA/CPAA. Manaus/AM. 1991.

GRUPO 1		GRUPO 2		GRUPO 3	
I.A baixo < 0,46	Forma oblongo	Médio > 0,46 < 0,50	elíptico	Alto > 0,50	oval
CMU-719-V	0.37	CMU-850-V	0.47	CMU-698-V	0.50
CMU-704-V	0.38	CMU-723-V	0.47	CMU-898-V	0.50
CMU-707-V	0.39	CMU-607-V	0.47	CMU-801-V	0.50
CMU-710-V	0.41	CMU-860-V	0.47	CMU-717-V	0.50
CMU-861-V	0.41	CMA-850-V	0.47	CMU-874-V	0.60
CMA-836-V	0.42	CMU-888-V	0.48	CMU-900-V	0.51
CMU-693-V	0.42	CMU-726-V	0.48	CMU-877-V	0.51
CMU-881-V	0.42	CMU-378-V	0.48	CMU-806-V	0.51
CMU-862-V	0.42	CMU-705-V	0.48	CPR-815-V	0.51
CMA-846-V	0.43	CMU-867-V	0.48	CMA-222-V	0.51
CMU-618-V	0.43	CMU-871-V	0.49	CMU-798-V	0.51
CPR-903-V	0.43	CMU-505-V	0.49	CMU-703-V	0.52
CMU-882-V	0.43	CMU-714-V	0.49	CMU-713-V	0.53
CMU-718-V	0.43			CMU-300-V	0.53
CMU-892-V	0.43			CMU-696-V	0.54
CMU-692-V	0.44			CMU-868-V	0.55
CMU-622-V	0.44			CMU-706-V	0.61
CMU-691-V	0.45				
CMU-879-V	0.45				
CMU-725-V	0.45				
CMU-711-V	0.45				
CMU-876-V	0.45				
CMU-880-V	0.45				
CMU-852-V	0.45				
CMU-722-V	0.45				
CMU-708-V	0.46				
CMU-724-V	0.46				
CPR-849-V	0.46				
CMU-897-V	0.46				
CMU-690-V	0.46				
CMU-623-V	0.46				
CMU-697-V	0.46				
CMU-618-V	0.46				
N	33		13		17
Percentagem	52%		21%		27%

CMU = Clones de Maués

CPR = Clones Cacau Pirera

CMA = Clones de Manaus

IA = Índice alométrico

TABELA 3 - Valores médios de descriptores da fase produtiva referente a safra 89/90. Fazenda Santa Helena/CEPLAC/Mato Grosso. CPN/DEPPAFA. Rondonópolis/MT.

Clone	N.Plaantes Produtivas	N.Plaantes Nô Produtivas	N.Plaantes Mortas	Produção Total (g)	Produção Potencial (g) pl/planta	Produção Real (g) pl/planta	Produtividade kg/ha	Número de Colheitas
CHU-222-V	7	11	0	1613,33	230,00	89,63	37,39	12
CHU-300-V	9	8	1	6310,00	645,56	235,00	32,68	31
CHU-378-V	10	8	0	4730,33	473,03	261,34	269,51	25
CHU-505-V	6	6	6	1853,33	306,00	154,44	42,83	14
CHU-607-V	4	14	0	930,00	237,50	52,70	21,96	9
CHU-612-V	3	15	0	153,33	51,11	8,52	3,54	3
CHU-618-V	0	16	2	0,00	0,00	0,00	0,00	0
CHU-622-V	10	8	0	2438,33	243,83	135,46	96,35	24
CHU-623-V	5	13	0	548,33	109,67	30,46	12,67	9
CHU-687-V	6	12	0	1790,33	299,72	99,91	61,56	9
CHU-690-V	6	12	0	876,57	146,11	48,70	30,36	11
CHU-691-V	14	4	0	8675,00	619,64	481,94	500,49	50
CHU-692-V	13	5	0	1790,33	130,33	59,91	21,92	11
CHU-693-V	6	12	0	948,33	158,06	53,69	27,66	8
CHU-696-V	4	12	2	1196,67	299,17	74,79	27,66	12
CHU-697-V	7	11	0	938,33	134,05	52,13	22,69	61
CHU-698-V	13	4	1	11291,67	868,99	664,22	260,96	7
CHU-703-V	6	12	0	683,33	113,00	37,96	15,79	1
CHU-704-V	1	15	2	16,67	16,67	1,04	0,39	2
CHU-705-V	2	7	9	106,33	54,17	12,04	2,50	27
CHU-706-V	12	5	1	3498,33	291,53	205,78	85,05	24
CHU-707-V	10	6	2	1636,67	163,67	102,29	37,63	12
CHU-708-V	5	12	1	668,33	173,67	51,08	20,07	31
CHU-710-V	12	6	0	3228,33	269,03	179,35	74,61	14
CHU-711-V	6	8	4	1501,67	250,28	107,26	34,71	4
CHU-713-V	2	9	7	223,33	111,67	20,30	5,16	61
CHU-714-V	16	2	0	10436,33	652,40	579,91	341,34	35
CHU-717-V	12	6	0	3343,33	278,61	185,74	77,27	32
CHU-718-V	14	4	0	2721,67	194,40	151,20	62,90	1
CHU-719-V	1	16	1	58,33	58,33	3,43	1,35	3
CHU-722-V	1	15	2	291,67	291,67	18,23	6,74	67
CHU-723-V	17	1	0	14621,67	860,10	612,31	337,92	13
CHU-725-V	8	10	0	2023,33	252,92	112,41	45,76	2
CHU-726-V	2	12	4	76,67	18,33	5,48	1,77	19
CHU-728-V	9	9	0	1571,67	174,63	87,31	36,32	30
CHU-801-V	12	6	8	2900,00	241,67	161,11	67,02	16
CHU-806-V	7	11	0	715,00	102,14	39,72	16,52	41
CPR-815-V	10	7	1	10461,67	1046,2	615,39	241,78	32
CPR-836-V	15	3	0	2228,33	148,56	123,80	51,90	60
CPR-846-V	18	0	0	9101,67	505,65	505,65	210,35	45
CPR-849-V	14	4	0	5046,67	360,48	280,37	116,63	40
CHU-850-V	15	3	0	9551,67	636,78	530,65	220,75	36
CHU-852-V	16	2	0	5546,67	346,67	308,15	126,19	12
CHU-860-V	6	12	0	680,00	113,33	37,78	15,72	67
CHU-861-V	16	2	0	12743,33	796,46	707,96	294,51	41
CHU-862-V	13	5	0	3430,00	263,05	190,56	79,27	4
CHU-867-V	4	10	4	183,33	45,83	13,10	4,34	17
CHU-868-V	9	9	0	2218,33	246,48	123,24	51,27	64
CHU-871-V	16	1	1	15466,67	966,67	909,80	357,45	43
CHU-874-V	14	4	0	4760,00	340,00	264,44	110,81	1
CHU-876-V	1	13	4	23,33	23,33	1,67	0,54	75
CHU-877-V	17	1	0	11113,33	653,73	617,41	256,84	9
CHU-879-V	6	12	0	668,33	111,39	37,13	15,45	30
CHU-880-V	9	8	1	2136,67	237,41	125,69	49,38	7
CHU-881-V	6	7	5	305,00	50,83	23,46	7,05	40
CHU-882-V	14	4	0	4473,33	319,52	248,52	103,38	10
CHU-886-V	8	9	1	458,33	57,29	26,96	10,59	33
CHU-888-V	12	6	0	4073,33	339,44	226,30	94,14	15
CHU-892-V	7	10	1	1003,33	143,33	59,02	23,19	36
CHU-897-V	12	6	0	3633,33	302,78	201,05	83,97	26
CHU-898-V	10	8	0	2551,67	255,17	141,76	58,97	59
CHU-900-V	17	1	0	6345,00	373,24	352,50	146,64	38
CPR-903-V	11	7	0	4231,67	384,70	235,09	97,80	
TOTAL GERAL	575	502	75	216846,67	18480,0	12336,4	5011,57	1617
Mín	0	1	0	0,00	0,00	0,00	0,00	0
Máx	18	16	12	15466,67	1046,20	909,80	357,45	75
Média	9	8	1	3388,23	377,12	201,34	83,76	25

TABELA 6 - Evolução da incidência de entracas em clones de guaraná. Fazenda Santa Helena/SAMASA/Moués. CPMI-DIBRAPA. Manaus/Am. 1991.

PERÍODO Intervalo de Entracas (S)	6 Meses					12 Meses					18 Meses					24 Meses					29 Meses					
	0	1	2	3		0	1	2			0	1	2	3		0	1	2	3		0	1	2	3		
CLONE																										
CRU-222-V	18	94.4	5.6	-	-	18	94.4	5.6	-	-	18	72.2	27.8	-	-	18	36.7	63.3	-	-	18	-	100	-	-	
CRU-300-V	18	80.0	20.0	-	-	18	91.7	8.3	-	-	18	68.7	31.3	-	-	18	14.3	85.7	-	-	18	13.3	80.0	6.7	-	
CRU-352-V	-	-	-	-	-	3	100	-	-	-	-	-	-	-	-	-	-	-	-	-	-	-	-	-	-	
CRU-378-V	18	94.4	5.6	-	-	18	86.7	13.3	-	-	18	53.3	46.7	-	-	18	5.9	88.2	5.0	-	18	27.8	72.2	-	-	
CRU-506-V	17	100	-	-	-	18	88.9	11.1	-	-	18	36.3	62.9	11.8	-	18	21.4	64.3	14.3	-	18	29.4	58.8	11.8	-	
CRU-607-V	17	82.2	11.8	-	-	18	87.5	12.5	-	-	18	93.3	6.7	-	-	18	41.7	58.3	-	-	18	36.9	61.1	-	-	
CRU-612-V	18	94.4	5.6	-	-	18	77.8	22.2	-	-	18	94.4	5.6	-	-	18	57.1	42.9	-	-	18	41.2	58.8	-	-	
CRU-618-V	17	94.1	5.9	-	-	18	93.7	6.2	-	-	18	93.3	6.7	-	-	18	54.5	45.5	-	-	18	50.0	50.0	-	-	
CRU-622-V	18	94.4	5.6	-	-	18	94.4	5.6	-	-	18	77.8	22.2	-	-	18	5.9	88.2	5.9	-	18	5.6	94.4	-	-	
CRU-623-V	17	100	-	-	-	18	94.1	5.9	-	-	18	58.8	41.2	-	-	18	17.6	82.4	-	-	18	-	100	-	-	
CRU-687-V	5	80.0	40.0	-	-	5	100	-	-	-	2	50.0	-	-	50.0	-	-	-	-	-	16	87.5	12.5	-	-	
CRU-690-V	17	100	-	-	-	18	72.2	27.8	-	-	18	72.2	27.8	-	-	18	16.7	83.3	-	-	18	5.6	88.9	5.6	-	
CRU-691-V	17	82.4	17.6	-	-	18	77.8	11.1	11.1	-	18	38.9	38.9	22.2	-	18	5.9	70.6	23.8	-	18	-	55.6	22.2	22.2	
CRU-692-V	17	100	-	-	-	18	94.4	5.6	-	-	18	50.0	50.0	-	-	18	16.7	83.3	-	-	18	27.8	72.2	-	-	
CRU-693-V	18	72.2	27.8	-	-	18	100	-	-	-	18	61.1	38.9	-	-	18	11.8	88.2	-	-	18	23.5	76.5	-	-	
CRU-696-V	17	94.1	5.9	-	-	18	82.4	17.6	-	-	18	88.9	11.1	-	-	18	36.5	61.5	-	-	18	-	100	-	-	
CRU-697-V	18	83.3	11.1	5.6	-	18	94.4	5.6	-	-	18	66.7	33.3	-	-	18	29.4	70.6	-	-	18	11.8	86.2	-	-	
CRU-698-V	18	77.8	16.7	5.6	-	18	77.8	22.2	-	-	18	66.7	33.3	-	-	18	14.3	85.7	-	-	18	-	100	-	-	
CRU-703-V	18	94.4	5.6	-	-	18	88.9	5.6	5.6	-	18	61.1	38.9	-	-	18	11.8	88.2	-	-	18	23.5	76.5	-	-	
CRU-704-V	17	82.4	11.8	5.9	-	18	87.5	12.5	-	-	18	75.0	25.0	-	-	18	50.0	20.0	-	-	18	50.0	20.0	-	-	
CRU-705-V	17	94.1	-	5.9	-	18	90.0	10.0	-	-	18	75.0	25.0	-	-	18	100	-	-	-	18	25.0	75.0	-	-	
CRU-706-V	17	82.4	17.6	-	-	18	92.3	7.7	-	-	18	92.3	7.7	-	-	18	33.3	66.7	-	-	18	6.7	93.3	-	-	
CRU-707-V	18	88.9	11.1	-	-	18	94.1	5.9	-	-	18	82.4	17.6	-	-	18	20.0	80.0	-	-	18	20.0	80.0	-	-	
CRU-708-V	17	100	-	-	-	18	86.7	13.3	-	-	18	73.3	26.7	-	-	18	20.0	80.0	-	-	18	-	93.3	6.7	-	
CRU-710-V	18	77.8	22.2	-	-	18	86.7	13.3	-	-	18	73.3	26.7	-	-	18	16.2	81.8	-	-	18	20.0	80.0	-	-	
CRU-711-V	17	82.4	17.6	-	-	18	100	-	-	-	18	50.0	-	-	-	18	57.1	42.9	-	-	18	38.9	61.1	-	-	
CRU-713-V	16	93.7	6.2	-	-	9	88.9	11.1	-	-	9	100	-	-	-	18	16.7	84.4	-	-	18	5.6	94.4	-	-	
CRU-714-V	18	94.4	5.6	-	-	18	94.4	5.6	-	-	18	77.8	16.7	5.6	-	18	22.2	77.8	-	-	18	-	100	-	-	
CRU-717-V	18	100	-	-	-	18	50.0	38.9	11.1	-	18	60.0	50.0	-	-	18	-	-	-	-	18	16.7	83.3	-	-	
CRU-718-V	18	94.4	5.6	-	-	18	77.8	22.2	-	-	18	61.1	38.9	-	-	18	16.7	83.3	-	-	18	23.5	76.5	-	-	
CRU-719-V	16	93.7	6.2	-	-	18	100	-	-	-	18	58.8	41.2	-	-	18	26.7	73.3	-	-	18	43.7	56.2	-	-	
CRU-722-V	17	68.8	41.2	-	-	7	85.7	14.3	-	-	18	80.0	20.0	-	-	18	25.0	75.0	-	-	18	16.7	66.7	16.7	-	
CRU-723-V	18	100	-	-	-	18	100	-	-	-	18	52.9	47.1	-	-	18	5.6	94.4	-	-	18	11.1	88.9	-	-	
CRU-724-V	8	87.5	12.5	-	-	8	87.5	12.5	-	-	11	100	-	-	-	18	28.6	71.4	14.3	-	11	36.4	63.6	-	-	
CRU-725-V	18	94.4	5.6	-	-	18	100	-	-	-	18	94.1	5.9	-	-	18	23.5	76.5	-	-	18	17.6	82.4	-	-	
CRU-726-V	18	77.8	16.7	5.6	-	18	82.4	17.6	-	-	18	47.1	41.2	11.8	-	18	25.0	62.5	12.5	-	18	25.0	75.0	-	-	
CRU-798-V	17	88.2	11.8	-	-	18	94.4	5.6	-	-	18	88.9	11.1	-	-	18	6.7	86.7	6.7	-	18	-	100	-	-	
CRU-801-V	18	94.4	5.6	-	-	18	100	-	-	-	18	66.7	33.3	-	-	18	11.1	72.2	11.1	5.6	18	11.1	55.6	22.2	11.1	
CRU-806-V	18	72.2	27.8	-	-	18	94.4	5.6	-	-	18	83.3	16.7	-	-	18	11.1	72.2	11.1	5.6	18	6.2	93.8	6.2	37.5	
CRU-815-V	18	88.9	11.1	-	-	18	66.7	27.8	5.6	-	18	85.6	16.7	5.6	22.2	16	-	56.2	25.0	18.8	16	6.2	50.0	6.2	37.5	
CRU-836-V	18	77.8	16.7	-	-	18	55.6	44.4	-	-	18	55.6	27.8	16.7	-	18	22.2	77.8	-	-	18	-	100	-	-	
CRU-846-V	18	94.4	5.6	-	-	18	77.8	22.2	-	-	18	52.9	47.1	-	-	18	5.6	88.9	5.6	-	18	-	100	-	-	
CRU-849-V	18	94.4	5.6	-	-	18	88.9	11.1	-	-	18	66.7	33.3	-	-	18	16.7	77.8	5.6	-	18	-	100	-	-	
CRU-850-V	18	100	-	-	-	18	100	-	-	-	18	44.4	33.3	16.7	5.6	18	22.2	77.8	16.7	5.6	18	-	100	-	-	
CRU-852-V	18	94.4	5.6	-	-	18	66.7	33.3	-	-	18	44.4	33.3	16.7	5.6	18	17.6	82.4	16.7	-	18	-	100	-	-	
CRU-860-V	17	76.5	23.5	-	-	18	88.9	11.1	-	-	18	77.8	22.2	-	-	18	17.6	82.4	16.7	-	18	-	100	-	-	
CRU-861-V	18	94.4	5.6	-	-	18	100	-	-	-	18	83.3	16.7	-	-	18	27.8	66.7	5.6	-	18	-	94.4	5.6	-	
CRU-862-V	18	83.3	16.7	-	-	18	100	-	-	-	18	66.7	25.0	-	-	18	9.1	-	91.7	8.3	-	18	25.0	75.0	-	-
CRU-867-V	18	77.8	22.2	-	-	12	91.7	8.3	-	-	18	88.9	11.1	-	-	18	56.2	43.7	-	-	18	5.6	94.4	-	-	
CRU-868-V	18	88.9	11.1	-	-	18	100	-	-	-	18	88.9	11.1	-	-	18	13.3	86.7	-	-	18	22.2	77.8	5.6	-	
CRU-871-V	18	77.8	22.2	-	-	16	75.0	25.0	-	-	18	37.5	62.5	-	-	18	14.4	85.6	-	-	18	5.6	94.4	-	-	
CRU-874-V	18	88.9	11.1	-	-	18	100	-	-	-	18	88.9	11.1	-	-	18	24.4	75.6	-	-	18	36.4	63.6	-	-	
CRU-876-V	16	87.5	12.5	-	-	11	100	-	-	-	11	90.9	9.1	-	-	11	63.6	36.4	-							

TABELA 7 - Porcentagem de sobrevivência em diferentes períodos de avaliação.
Fazenda Santa Helena/SAMASA/Maués. EMBRAPA/CPAA. Manaus, AM. 1991.

Clone	Percentagem de Sobrevida (%)		
	ao plantio	6 meses	12 meses
CMA-222-V	100	100	100
CMU-300-V	100	83	83
CMU-378-V	100	100	83
CMU-505-V	94	94	94
CHU-607-V	89	83	78
CMU-612-V	100	100	100
CMU-618-V	94	94	89
CMU-622-V	100	100	100
CHU-623-V	100	94	94
CMU-687-V	89	28	28
CMU-690-V	100	94	94
CMU-691-V	94	94	94
CMU-692-V	100	94	94
CMU-693-V	100	100	100
CMU-696-V	100	94	94
CMU-697-V	100	100	100
CMU-698-V	100	100	100
CMU-703-V	100	100	100
CMU-704-V	100	94	94
CMU-705-V	100	94	83
CMU-706-V	100	94	72
CMU-707-V	100	100	94
CMU-708-V	100	94	83
CMU-710-V	100	100	83
CMU-711-V	100	94	50
CMU-713-V	94	89	100
CMU-714-V	100	100	100
CMU-717-V	100	100	100
CMU-718-V	100	100	80
CMU-719-V	100	89	39
CMU-722-V	100	94	100
CMU-723-V	100	100	67
CMU-724-V	94	67	100
CMU-725-V	100	100	84
CMU-726-V	100	89	89
CMU-798-V	94	89	100
CMU-801-V	100	100	100
CMU-806-V	100	100	100
CPR-815-V	100	100	100
CMA-836-V	100	100	100
CMA-846-V	100	100	100
CPR-849-V	100	100	100
CMA-850-V	100	100	100
CMU-852-V	100	100	100
CMU-860-V	100	89	89
CMU-861-V	100	100	100
CMU-862-V	100	100	100
CMU-867-V	100	100	67
CMU-868-V	100	100	100
CMU-871-V	100	100	89
CMU-874-V	100	100	100
CMU-876-V	100	89	61
CMU-877-V	100	100	100
CMU-879-V	100	100	100
CMU-880-V	100	89	89
CMU-881-V	100	100	89
CMU-882-V	100	100	94
CMU-886-V	100	100	89
CMU-888-V	100	94	94
CMU-892-V	100	83	83
CMU-897-V	89	89	89
CMU-898-V	100	94	94
CMU-900-V	100	100	100
CPR-903-V	100	100	100

PA nº 10, dez./91. p.11

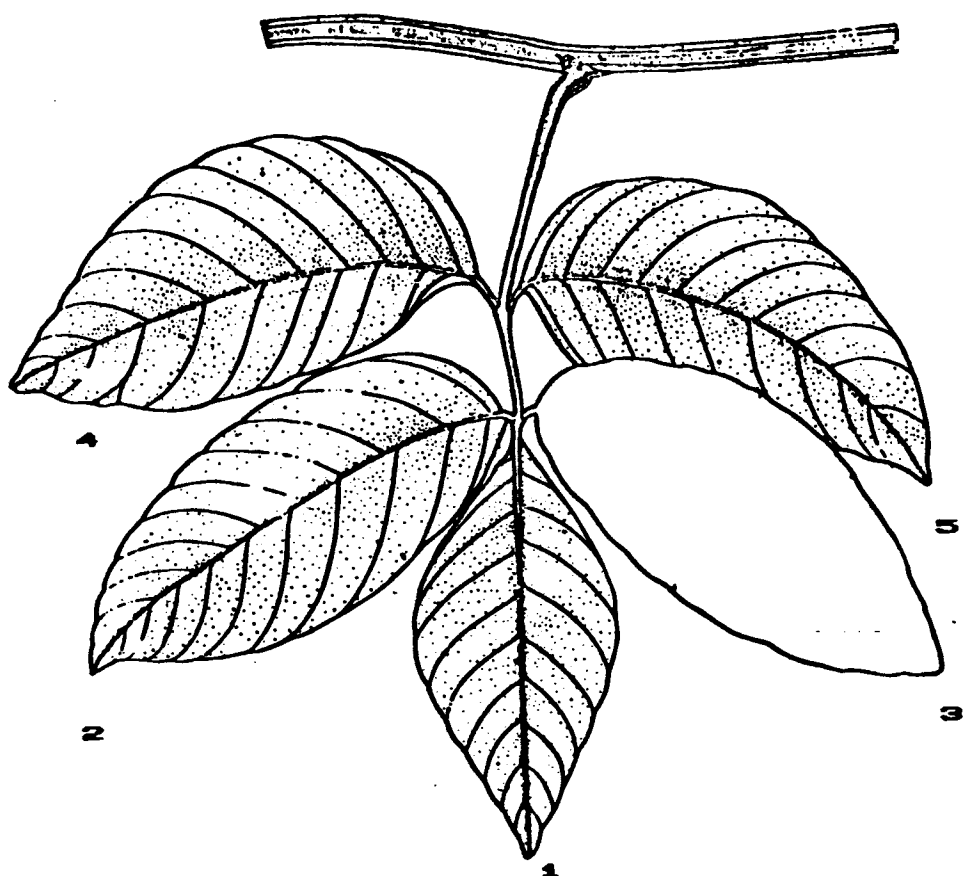


Figura 1 - Posição do folíolo-3 na folha do guaranazeiro.

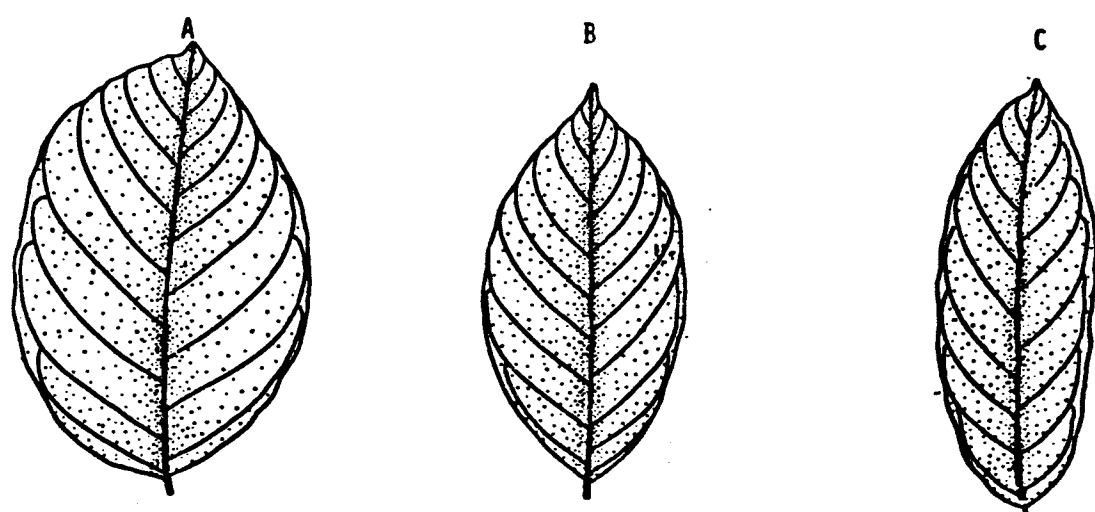


Figura 2 - Formas do folíolo-3 da folha do guaranazeiro: A-oval, B-elíptico, C-oblongo.